

位相同期ループモデルによる分布帰還型半導体レーザーの相互注入同期の解析

Analysis of Mutual Injection Locking of Distributed Feedback Laser Diodes with Phase-Locked-Loop Model

森 正和†, 鈴木 基仁†, 水池 秀仁†, 後藤 了祐‡,
後藤 俊夫‡, 山根 一雄‡†,

Masakazu MORI, Motohiro SUZUKI, Hidehito MIZUCHI, Ryousuke GOTO,
Toshio GOTO, and Kazuo YAMANE

Abstract: Mutual injection locking between two distributed feedback laser diodes is analyzed with a simple phase-locked-loop model derived from the Van der Pol equation. Some characteristics of the mutual injection locking, especially the linewidth controllability, are clearly explained with this model. An analytical expression for the dependence of the linewidth on the laser output powers is obtained. To confirm the validity of the model, linewidths of two distributed feedback laser diodes under the mutually injection locked condition were measured and compared with the results calculated with the phase-locked-loop model. The dependence of the linewidths on the laser output powers agreed well with the calculated ones.

1. はじめに

大容量光通信システムでは光源のスペクトル線幅を制御することが重要な課題である。たとえば、光ファイバ伝送路の分散を克服するためには狭いスペクトル線幅が必要となる¹⁾。一方、誘導ブリルアン散乱などの非線形効果を抑圧するためには、むしろある程度広いスペクトル線幅が必要である²⁾。

光源のスペクトル線幅を制御する手法としては、注入同期技術が従来から広く研究されている³⁻⁵⁾。そのほとんどは一方向性の光注入であり、基準となる光源の光出力を別の光源に注入する構成系である。これに対し、二つのレーザーを相互注入同期させる構成系が文献6)において初めて提案された。分布帰還型半導体レーザー(Distributed Feedback Laser Diodes: DFB LDs)とファイバリングレーザーを相互注入同期させ、ファイバリングレーザーを単一縦モード発振させた

ことが報告されている。興味深いのは、二つのレーザーが結合した系において、発振スペクトル線幅が注入パワーによって変化したという点である。

相互注入同期は、発振周波数がファイバローモード間隔だけ離れた二つのDFB LDの間でも生じる。この現象は、波長多重光通信システムの光源波長の安定化に利用することができる⁷⁾。また、連続光を適当な条件でファイバローLDに注入することによって、二つの縦モード間でも相互注入同期が生じる。筆者らはこの現象を利用して、電気信号を用いずに光信号のみでモード同期を行う「全光制御モード同期」に成功している⁸⁾。

このように、相互注入同期したレーザー系は、発振スペクトル線幅の狭窄化などの興味ある特徴を有するにもかかわらず、これまでに系統立った研究はされていない。筆者らのグループでは実験中心で研究を進め、いくつかの性質を確認してきたが^{7,8)}、より根本的に相互注入同期を理解するためには解析モデルを作って、シミュレーションと並行させながら検討する必要がある。これにより、たとえば、①どのLDが主体となって引き込みが起きるのか、②安定領

† 愛知工業大学 情報通信工学科(豊田市)

‡ 名古屋大学大学院 工学研究科(名古屋市)

‡ 富士通株式会社 光開発推進部(川崎市)

域はどうか、③発振スベクトル線幅はどう変化するか、④デバイスパラメータ依存性はどのようになるか、などの応用上で重要な事項に対する予測が可能になると期待される。

本報告では、二つのDFB LDの相互注入同期を位相同期ループモデルで解析した結果について述べる。但し、発振スベクトル線幅の変化に焦点を合わせるため、注入同期時に二つのレーザの発振周波数が一致する場合に限った。文献6と7がこの場合に相当する。しかし、ここで述べる内容の多くは文献8の場合にも適用できるものである。

2. 注入同期現象に対する位相同期ループモデル

ここでは、まず注入同期現象におけるLDの振舞いをファン・デル・ポール方程式を基にして検討し、位相同期ループ(Phase Locked Loop:PLL)⁹⁾によりモデル化する。次に、PLLモデルにランジュエロン雑音を加えることにより、0でない発振スベクトル線幅を表現する方法を検討する。

2.1 線幅が0の場合のモデル

一方向性注入同期に対するモデルから出発する。注入同期が用いられる応用分野においては、注入側LDと被注入側LDの各々の電界振幅は、発振の中心周波数に比べてゆっくり変化すると考えてよい。そこで、次のように表す。

注入側LD: $E_M(t) = \overline{E_M(t)} \exp(j\omega_0 t) + c.c.$
 被注入側LD: $E_{SL}(t) = \overline{E_{SL}(t)} \exp(j\omega_0 t) + c.c.$ (1)

ここで、 ω_0 は自走時の発振角周波数であり、c.c.は複素

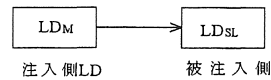


図1 一方向性注入同期

共役を表す。一方向性注入同期に対するファン・デル・ポール方程式は、各電界の振幅成分に関するものであり、次のようになる¹⁰⁾。

$$\frac{d}{dt} \overline{E_{SL}(t)} - (G^{(1)} - \alpha - G^{(3)} |\overline{E_{SL}(t)}|^2) \overline{E_{SL}(t)} = \frac{\overline{E_M(t)}}{2\tau_{PSL}} \quad (2)$$

ここで、 $G^{(1)}$ は線形利得係数、 α は損失係数、 $G^{(3)}$ は飽和利得係数、 τ_{PSL} は被注入LDの光子寿命である。各LDの出力振幅は一定であるとし、自走角周波数 ω_0 からの角周波数ずれを全て位相の中に入れれば、電界振幅は次

のように表せる。

$$\overline{E_M(t)} = E_{M0} \exp\{j\phi_M(t)\}$$

$$\overline{E_{SL}(t)} = E_{SL0} \exp\{j\phi_{SL}(t)\} \quad (3)$$

これを(2)に代入すると、実部と虚部から次式を得る。

$$\frac{d}{dt} \phi_{SL}(t) = \frac{E_{M0}}{2\tau_{PSL}E_{SL0}} \sin\{\phi_M(t) - \phi_{SL}(t)\} \quad (4a)$$

$$G^{(1)} - \alpha - G^{(3)}(E_{SL0})^2 = \frac{E_{M0}}{2\tau_{PSL}E_{SL0}} \cos\{\phi_M(t) - \phi_{SL}(t)\} \quad (4b)$$

(4a)が位相同期を記述する方程式であり、(4b)は位相同期時の振幅条件を与える。

(4a)は図2のPLLと等価である。但し、 $1/s$ はラプラス変換で積分を表す記号であり、一般のPLLでは電圧制御発振器(Voltage Controlled Oscillator:VCO)に相当する⁹⁾。また、ループ利得 K_{SL} は、被注入LDの光子寿命 τ_{PSL} と光パワー P_{SL} 、および注入光パワー P_M を用いて次式で表せる。

$$K_{SL} = \frac{E_{M0}}{2\tau_{PSL}E_{SL0}} = \frac{1}{2\tau_{PSL}} \sqrt{\frac{P_M}{P_{SL}}} \quad (5)$$

図2の波線で囲んだ部分が被注入同期側LDを表すPLLモデルである。相互注入同期、すなわち両方向性注入同期では、二つのPLLを互いに接続することになる。

図2は、一般のPLLでループフィルタが無い場合に相当する。しかし、ループ中に積分要素 $1/s$ が含まれているため、PLLは低域通過特性を持つ。

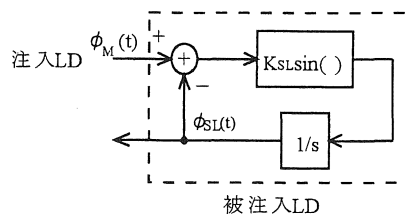


図2 一方向性注入同期に対するPLLモデル

2.2 線幅が0でない場合のモデル

ここでは、ランジュエロン雑音をPLL中に取り入れて、スベクトル線幅のモデル化を行う。連続波の場合には、電気信号でも光信号でも、発振スベクトル線幅は振幅揺らぎではなく、位相揺らぎによってほぼ決定される。ランジュエロン雑音を加えることによって、0でない発振スベクトル線幅を解析モデルで表現することができる¹¹⁾。ここでは、VCOにランジュエロン雑音を加えて、発振スベクトル線幅がどのようになるかをい

くつかの簡単な場合について検討する。

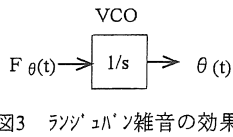


図3のように、VCOにランジュン雑音 $F_{\theta}(t)$ を加えたとき、VCO出力の位相は次の方程式に従う。

$$\frac{d}{dt} \theta(t) = F_{\theta}(t) \quad (6)$$

ここで、ランジュン雑音 $F_{\theta}(t)$ は次の性質を持つと仮定する。但し、 $\delta(t)$ はディラックのデルタ関数である。また、 $\langle \rangle_{av}$ は集合平均を表す。

$$\begin{aligned} \langle F_{\theta}(t)F_{\theta}(t') \rangle_{av} &= 2D_{\theta} \delta(t-t') \\ \langle F_{\theta}(t) \rangle_{av} &= 0 \end{aligned} \quad (7)$$

D_{θ} の大きさは、自走時にLD出力が0でない、ある線幅を持つよう、以下の如くに決められる。

まず、位相の分散の時間変化を求める。

$$\begin{aligned} \frac{d}{dt} \{ \langle \theta(t)^2 \rangle_{av} - \langle \theta(t) \rangle_{av}^2 \} &= \\ 2 \left\langle \theta(t) \frac{d}{dt} \theta(t) \right\rangle_{av} - 2 \langle \theta(t) \rangle_{av} \left\langle \frac{d}{dt} \theta(t) \right\rangle_{av} \end{aligned} \quad (8)$$

ここで、右辺第二項は、(6)と(7)から0となる。一方、第一項は $t > 0$ として

$$\theta(t) = \int_0^t \frac{d}{dt'} \theta(t') dt' + \theta(0) = \int_0^t F_{\theta}(t') dt' + \theta(0)$$

となることに注意すると、

$$\left\langle \theta(t) \frac{d}{dt} \theta(t) \right\rangle_{av} = \int_0^t \langle F_{\theta}(t') F_{\theta}(t) \rangle_{av} dt' + \theta(0) \langle F_{\theta}(t) \rangle_{av} = D_{\theta} t$$

これから、(8)は、次のようになる。

$$\frac{d}{dt} \{ \langle \theta(t)^2 \rangle_{av} - \langle \theta(t) \rangle_{av}^2 \} = 2D_{\theta}$$

従って、

$$\langle \theta(t)^2 \rangle_{av} - \langle \theta(t) \rangle_{av}^2 = 2D_{\theta} t \quad (9)$$

すなわち、位相の分散は時間 t に比例して増加することが分かる。これは、ランジュン雑音による位相拡散の特徴である。但し、時刻 t が負の場合には、その絶対値を取らねばならない。図4は、極座標の位相に $\theta(t)$ を対応させて位相拡散の時間的様子を模式的に表したものである。

ランジュン雑音による位相拡散は、多数回のインパルス性雑

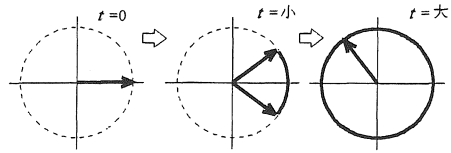


図4 位相拡散の様子

音による位相変化を積み重ねた結果であるから、中央極限定理によって、その確率分布はガウス分布になる。すなわち、時刻 t と $t+\tau$ における位相差 $\Delta\theta = \theta(t+\tau) - \theta(t)$ は、分散が $\sigma^2 = 2D_{\theta} |\tau|$ のガウス分布になる。

次に、このような位相揺らぎがある正弦波のパワースペクトル密度を求める。VCO出力を $x(t) = A \cos\{\omega_0 t + \theta(t)\}$ とすると、自己相関関数 $\phi_{xx}(\tau)$ は次のように求められる¹²⁾。

$$\begin{aligned} \phi_{xx}(\tau) &= \langle x(t)x(t+\tau) \rangle_{av} \\ &= A^2 \langle \cos\{\omega_0 t + \theta(t)\} \cos\{\omega_0(t+\tau) + \theta(t+\tau)\} \rangle_{av} \\ &= \frac{A^2}{2} \cos(\omega_0 \tau) \int_{-\infty}^{\infty} \frac{\cos(\Delta\theta \tau)}{\sqrt{2\pi} \sigma} \exp\left[-\frac{(\Delta\theta \tau)^2}{2\sigma^2}\right] d(\Delta\theta \tau) \\ &= \frac{A^2}{2} \exp\left[-\frac{\sigma^2 \tau^2}{2}\right] \cos(\omega_0 \tau) \\ &= \frac{A^2}{2} \exp(-D_{\theta} |\tau|) \cos(\omega_0 \tau) \end{aligned} \quad (10)$$

$x(t)$ のパワースペクトル密度 $\Phi_{xx}(f)$ は $\phi_{xx}(\tau)$ をフーリエ変換して

$$\begin{aligned} \Phi_{xx}(f) &= \int_{-\infty}^{\infty} \phi_{xx}(\tau) \exp(-j2\pi f \tau) d\tau \\ &= \frac{A^2}{4} \left\{ \frac{2D_{\theta}}{D_{\theta}^2 + (2\pi f - \omega_0)^2} + \frac{2D_{\theta}}{D_{\theta}^2 + (2\pi f + \omega_0)^2} \right\} \end{aligned} \quad (11)$$

これは、図5のように、半値全幅が $\Delta f = D_{\theta} / \pi$ のローレンツ型スペクトルである。逆に、自走時のスペクトル線幅 Δf が決まっていれば、ランジュン雑音の大きさを表すパラメータ D_{θ} は、 $D_{\theta} = \pi \Delta f$ で与えられることになる。

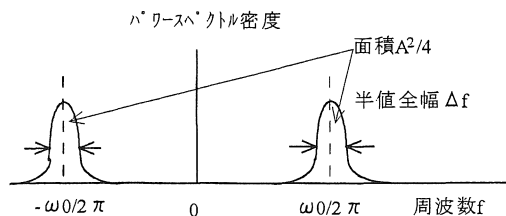


図5 ローレンツ型スペクトル

次に、フィルタを通してランダム雑音をVCOに加えた場合を考える。図6に示すように、低域通過フィルタ(LPF)と高域通過フィルタ(HPF)を考える。但し、伝達関数は、遮断周波数 $f_c = \omega_c / 2\pi$ 、 $s = j\omega$ として次のようであるとする。

$$\begin{aligned} \text{LPF: } H(s) &= \frac{1}{1+s/\omega_c} \\ \text{HPF: } H(s) &= \frac{1}{1+\omega_c/s} \end{aligned} \quad (12)$$

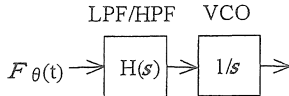


図6 フィルタがスペクトル線幅に及ぼす効果

前と同様にして、VCO出力の位相角 $\theta(t)$ に対する微分方程式を導き、初期条件をすべて0として解けば、位相差 $\Delta\theta_\tau \equiv \theta(t+\tau) - \theta(t)$ の分散 σ_{τ^2} として次式を得る。

$$\begin{aligned} \text{LPF: } \sigma_{\tau^2} &= -\frac{2\pi\Delta f}{\omega_c} \{1 - \exp(-\omega_c|\tau|)\} + 2\pi\Delta f|\tau| \\ \text{HPF: } \sigma_{\tau^2} &= \frac{\pi\Delta f}{\omega_c} \{1 - \exp(-2\omega_c|\tau|)\} \end{aligned} \quad (13)$$

HPFの場合は、 $\tau \rightarrow \infty$ でも分散 σ_{τ^2} は有限であることが分かる。すなわち、ランダム雑音による位相拡散は起きない。実際、パワースペクトル密度を求めてみると、線幅0の線スペクトルと、半値全幅 $4nfc$ のローパス型スペクトルの重ね合わせになる。但し、 n は自然数である。

一方、LPFの場合は、 $\tau \rightarrow \infty$ で第二項のランダム雑音による位相拡散が支配的となるが、第一項との大小関係で全体のスペクトル形状が変わってくる。遮断周波数をパラメータ

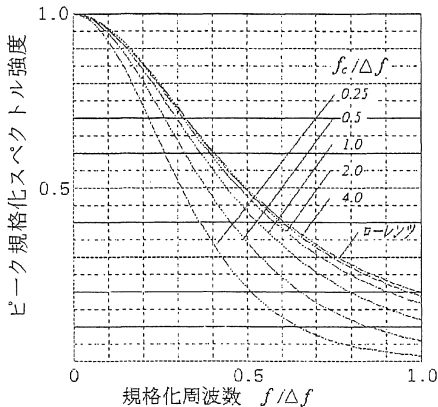


図7 ピーク規格化スペクトル強度の遮断周波数依存性

として、高速フーリエ変換による数値計算でパワースペクトル密度を計算した結果を図7に示す。同図から、LPFの遮断周波数 f_c が、フィルタ無しでのスペクトル線幅 Δf の4倍以上であれば、第二項のランダム雑音による位相拡散の効果が支配的となり、スペクトル線幅 Δf のローパス型スペクトルで近似できることが分かる。

以上のように、スペクトル線幅を決定するのは、低周波の揺らぎである。

3. 相互注入同期の動作解析

ここでは、前節で検討したPLLモデルを用いて相互注入同期の動作解析を行う。特に、発振スペクトル線幅の変化は応用上で重要であるため、詳しく検討する。

3.1 線幅0の場合の相互注入同期の動作特性

相互注入同期では、図8のように二つのLDが互いに光を注入し合う。まず、自走周波数が等しい場合を考え、前節のPLLモデルを用いて表すと図9のようになる。

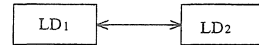


図8 相互注入同期

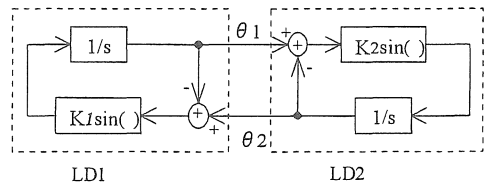


図9 相互注入同期のPLLモデル(線幅0)

図9で、各LDの出力位相 $\theta_1(t)$ と $\theta_2(t)$ は次式に従う。

$$\begin{aligned} \frac{d}{dt} \theta_1(t) &= K_1 \sin\{\theta_2(t) - \theta_1(t)\} \\ \frac{d}{dt} \theta_2(t) &= K_2 \sin\{\theta_1(t) - \theta_2(t)\} = -\frac{K_2}{K_1} \frac{d}{dt} \theta_1(t) \end{aligned} \quad (14)$$

位相同期時には、 $\theta_2(t) - \theta_1(t) = n\pi$ が成り立つ。ここで、 n は整数である。安定性解析を行うと、 n が奇数の状態は不安定であることが分かる。

このように、二つのLDが相互注入し合う場合は、 $\theta_1(t)$ と $\theta_2(t)$ の差が一定となるように動作する。従って $\theta_1(t)$ が変動すると、それに合わせて $\theta_2(t)$ が変化し、その変化が $\theta_1(t)$ に戻ってくる。このフィードバック動作によって、後に述べるように、スペクトル線幅は自走時の値から変化す

ることになる。

一方、自走周波数が等しくない場合には、図10に示すように、ループ内に角周波数のオフセットを加えればよい。図のように、自走時の発振角周波数を $\omega_{1,2} = \omega_0 \pm \delta\omega/2$ としても一般性を失わないので、この条件で検討する。

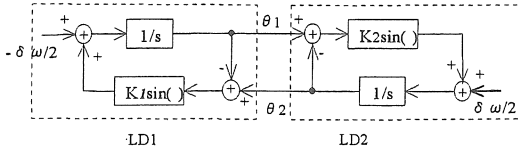


図10 自走周波数が等しくない場合のPLLモデル(線幅0)

このときの出力位相は次式に従う。

$$\begin{aligned} \frac{d}{dt} \theta_1(t) &= K_1 \sin\{\theta_2(t) - \theta_1(t)\} - \frac{\delta\omega}{2} \\ \frac{d}{dt} \theta_2(t) &= K_2 \sin\{\theta_1(t) - \theta_2(t)\} + \frac{\delta\omega}{2} \end{aligned} \quad (15)$$

これから、位相に関する次の運動方程式が得られる。

$$\frac{d}{dt} \theta_1(t) + \frac{\delta\omega}{2} + \frac{d}{dt} \theta_2(t) - \frac{\delta\omega}{2} = 0 \quad (16)$$

この式を図示すると図11のようになる。これから、中心角周波数を ω_0 として、

- $K_2 < K_1$ では ω_0 より高い角周波数
- $K_2 = K_1$ では ω_0
- $K_2 > K_1$ では ω_0 より低い角周波数

で引き込みが安定することが分かる。つまり、発振角周波数はループ利得が小さい方のLD側に引っ張られることになる。但し、同期状態での発振角周波数は両LD共に

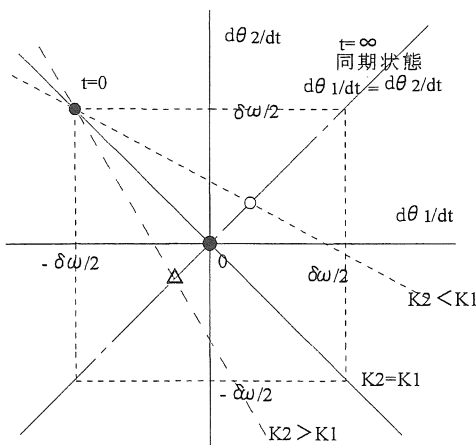


図10 ループ利得による同期角周波数の変化

自走時から変化している。ループ利得が小さい方のPLLの発振角周波数変化がより小さいという意味である。

3.2 相互注入同期時のスペクトル線幅の解析

ここでは、二つのPLLが相互注入同期した場合のスペクトル線幅を解析する。簡単のため、自走周波数は同じと仮定する。図11に解析モデルを示す。自走周波数が異なっている場合には、位相同期した状態での各PLL動作点における小信号ループ利得を用いれば、ここで述べるのと同様な議論ができる。

各PLL出力のスペクトル線幅を Δf_1 、 Δf_2 とすると、前節の結果から、ラッソ・エハソ雑音として次式を仮定すればよい。

$$\begin{aligned} \langle F_1(t)F_1(t') \rangle_{av} &= 2\pi \Delta f_1 \delta(t-t') \\ \langle F_2(t)F_2(t') \rangle_{av} &= 2\pi \Delta f_2 \delta(t-t') \\ \langle F_1(t)F_2(t') \rangle_{av} &= 0 \end{aligned} \quad (17)$$

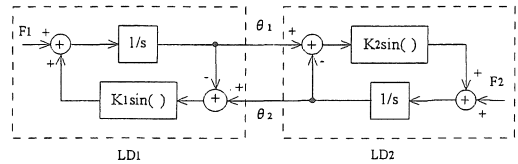


図11 相互注入同期のPLLモデル(線幅≠0)

相互注入時には、各PLLの位相は次式に従う。

$$\begin{aligned} \frac{d}{dt} \theta_1(t) &= K_1 \sin\{\theta_2(t) - \theta_1(t)\} + F_1(t) \\ \frac{d}{dt} \theta_2(t) &= K_2 \sin\{\theta_1(t) - \theta_2(t)\} + F_2(t) \end{aligned} \quad (18)$$

位相同期点は、 2π の整数倍の差を無視して、 $\theta_1(t) = \theta_2(t)$ であるが、ラッソ・エハソ雑音のために $\theta_1(t)$ と $\theta_2(t)$ はランダムウォークして位相が拡散していく。しかし、同期はずれが生じない限り、 $\theta_2(t) - \theta_1(t)$ は微小な値だから、 $\sin\{\theta_2(t) - \theta_1(t)\} \approx \theta_2(t) - \theta_1(t)$ とおける。ラッソ・エハソ雑音による瞬時角周波数の揺らぎがフレイノッソよりも十分小さければ、このような近似が成り立つ。この条件は言い換えると、自走時のスペクトル線幅がフレイノッソよりも十分小さいということである。

この近似の下では、(18)は次のようになる。

$$\begin{aligned} \frac{d}{dt} \theta_1(t) &= K_1 \{\theta_2(t) - \theta_1(t)\} + F_1(t) \\ \frac{d}{dt} \theta_2(t) &= K_2 \{\theta_1(t) - \theta_2(t)\} + F_2(t) \end{aligned} \quad (19)$$

ここで、後の計算に都合が良いように、次の量を定義する。

$\theta_1(t)$ の分散: $\langle \Delta \theta_1^2(t) \rangle_{av} \equiv \langle \theta_1^2(t) \rangle_{av} - \langle \theta_1(t) \rangle_{av}^2$

そのラプラス変換 $\rightarrow \Theta_{11}(s)$

$\theta_2(t)$ の分散: $\langle \Delta \theta_2^2(t) \rangle_{av} \equiv \langle \theta_2^2(t) \rangle_{av} - \langle \theta_2(t) \rangle_{av}^2$

そのラプラス変換 $\rightarrow \Theta_{22}(s)$

$\theta_1(t)$ と $\theta_2(t)$ の共分散:

$$\langle \Delta \theta_1(t) \theta_2(t) \rangle_{av} \equiv \langle \theta_1(t) \theta_2(t) \rangle_{av} - \langle \theta_1(t) \rangle_{av} \langle \theta_2(t) \rangle_{av}$$

そのラプラス変換 $\rightarrow \Theta_{12}(s)$

前節と同様にして、これらの量の時間変化を表す微分方程式を求め、全ての初期値が0としてラプラス変換すると、次の連立方程式を得る。

$$\begin{pmatrix} s+2K_1 & 0 & -2K_1 \\ 0 & s+2K_2 & -2K_2 \\ -K_2 & -K_1 & s+K_1+K_2 \end{pmatrix} \begin{pmatrix} \Theta_{11}(s) \\ \Theta_{22}(s) \\ \Theta_{12}(s) \end{pmatrix} = \begin{pmatrix} 2\pi \Delta f_1/s \\ 2\pi \Delta f_2/s \\ 0 \end{pmatrix} \quad (20)$$

これを解くと、スペクトル線幅に関する $\theta_1(t)$ の分散と $\theta_2(t)$ の分散について次の解が得られる。

$$\Theta_{11}(s) = \frac{A_1}{s} + \frac{B_1}{s^2} + \frac{C_1}{s+(K_1+K_2)} + \frac{D_1}{s+2(K_1+K_2)}$$

$$\Theta_{22}(s) = \frac{A_2}{s} + \frac{B_2}{s^2} + \frac{C_2}{s+(K_1+K_2)} + \frac{D_2}{s+2(K_1+K_2)}$$

但し、

$$A_1 = \frac{\pi K_1}{(K_1+K_2)^3} \{ (K_1+4K_2) \Delta f_1 - 3K_1 \Delta f_2 \}$$

$$A_2 = \frac{\pi K_2}{(K_1+K_2)^3} \{ -3K_2 \Delta f_1 + (4K_1+K_2) \Delta f_2 \}$$

$$B_1 = B_2 = \frac{2\pi}{(K_1+K_2)^2} (K_2^2 \Delta f_1 + K_1^2 \Delta f_2) \quad (21)$$

$$C_1 = \frac{4\pi K_1}{(K_1+K_2)^3} (-K_2 \Delta f_1 + K_1 \Delta f_2)$$

$$C_2 = \frac{4\pi K_2}{(K_1+K_2)^3} (K_2 \Delta f_1 - K_1 \Delta f_2)$$

$$D_1 = -\frac{\pi K_1^2}{(K_1+K_2)^3} (\Delta f_1 + \Delta f_2)$$

$$D_2 = -\frac{\pi K_2^2}{(K_1+K_2)^3} (\Delta f_1 + \Delta f_2)$$

$t \rightarrow \infty$ で支配的になるのは B_1 と B_2 に対応する項である。すなわち、同期状態で $\theta_1(t) \approx \theta_2(t)$ を保ちながらランダムウォークすることが分かる。式(10)の σ_e^2 のところ $B_1|\tau|$ 、或いは $B_2|\tau|$ を代入すれば、LD1とLD2のスペクトル線幅が得られる。 $B_1=B_2$ であるから、結局、異なる自走時スペクトル線幅 Δf_1 、 Δf_2 のLDが相互注入同期すると、同期時には両者のスペクトル線幅は等しくなり、次式で与えられることになる。

$$\Delta f_{ML} = \frac{K_2^2 \Delta f_1 + K_1^2 \Delta f_2}{(K_1+K_2)^2} \quad (22)$$

(21)式の全ての項を入れて、高速フーリエ変換によりパワー spectral 密度を計算した結果を図12に示す。計算においては簡単化のため、 $K_1=K_2 \equiv K$ 、 $\Delta f_1 = \Delta f_2 \equiv \Delta f$ とし、 K をパラメータに設定した。

ループ利得が大きくなるにしたがって、スペクトル線幅は一定値に収束する。同図から、 B_1 と B_2 に対応する項以外を無視してよいのは、ループ利得 K_1 と K_2 が自走時のスペクトル線幅 Δf_1 、 Δf_2 の2π倍程度以上の場合であることが分かる。電気PLL、光PLLのいずれにおいても上記の条件は十分に満足されており、発振スペクトル線幅はランダムウォークによる位相拡散で決定されると考えてよい。

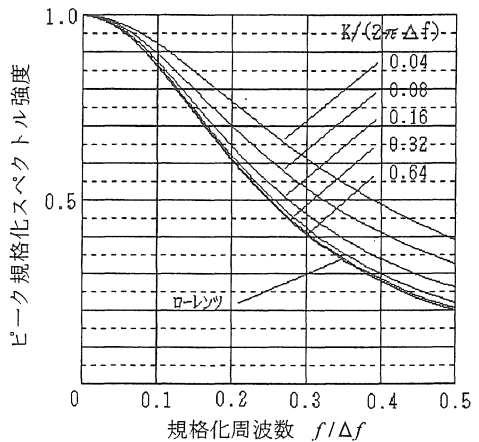


図12 ビーク規格化スペクトル強度のループ利得依存性

次に、ループ利得が式(5)により与えられることを用いて、式(22)を各LDの光子寿命と出力パワーで表すことを考える。一般には、図13のように二つのLD間には光損失Lが入ることを考慮せねばならない。そこで、ループ利得は次のようになる。

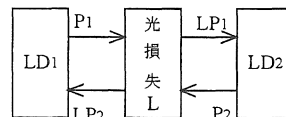


図13 光損失を考慮した相互注入系

$$K_1 = \frac{\sqrt{L} E_2}{2 \tau_{p1} E_1} = \frac{1}{2 \tau_{p1}} \sqrt{\frac{LP_2}{P_1}}$$

$$K_2 = \frac{\sqrt{L} E_1}{2 \tau_{p2} E_2} = \frac{1}{2 \tau_{p2}} \sqrt{\frac{LP_1}{P_2}} \quad (23)$$

これを用いると、相互注入同期時のスペクトル線幅は、次のように損失 L に無関係であることが分かる。

$$\Delta f_{ML} = \frac{(\tau_{p1}P_1)^2 \Delta f_1 + (\tau_{p2}P_2)^2 \Delta f_2}{(\tau_{p1}P_1 + \tau_{p2}P_2)^2} \quad (24)$$

特に、両LDの光子寿命が等しい場合には、LDの出力パワー比のみで表現することができる。

$$\begin{aligned} \Delta f_{ML} &= \frac{P_1^2 \Delta f_1 + P_2^2 \Delta f_2}{(P_1 + P_2)^2} \\ &= \frac{(P_1/P_2)^2 \Delta f_1 + \Delta f_2}{(1 + P_1/P_2)^2} \end{aligned} \quad (25)$$

この式は、二つのLDの出力パワー比を変化させることによって、スペクトル線幅を変化させることが可能であることを示す。スペクトル線幅が制御可能であることは相互注入同期の重要な性質である。

一方、文献8に述べられている全光制御モード同期法では、ファイバローLDにcw光を注入して、縦モード間の相互注入同期を起こさせる。この場合は、 $\Delta f_1 = \Delta f_2 \equiv \Delta f$ 、 $K_1 = K_2 \equiv K$ とおけるから、

$$\Delta f_{ML} = \frac{\Delta f}{2} \quad (26)$$

従って、相互注入同期が起きると、スペクトル線幅は自走時の1/2倍になる。このことは全光制御モード同期の動作において重要な意味を持つ。一旦、二つの主モード間で相互注入同期が起これば、それらのスペクトル線幅が狭くなるため、主モード間の四光波混合成分が強く現れて、隣接モードを注入同期することが可能となることを意味するからである。

4. 相互注入同期におけるスペクトル線幅の測定

ここでは、二つのDFB LDを用いて相互注入同期を起こさせ、発振スペクトル線幅の変化を測定した結果について述べる。

4.1 実験系

実験には、波長1.55 μm 帯の端面反射率非対称型DFB LDを二個用いた。共振器長は300 μm である。

実験系を図14に示す。各々のLDのスペクトル線幅は、モニタ側端面からの光出力を狭線幅($\leq 100\text{kHz}$)の波長可変LDを用いて高精度に検波することによって測定した。各DFB LDの光出力は、可変減衰器を介して互いに注入し合う

状態になっている。二つのLD間の距離と結合効率は、安定な相互注入同期が起きるところに設定して測定した。また、各LDの出力パワーは、ハイズ電流を変化させることによって調節した。尚、周囲温度の影響を抑えるために、各LDの温度は温度制御器によって一定値に制御してある。

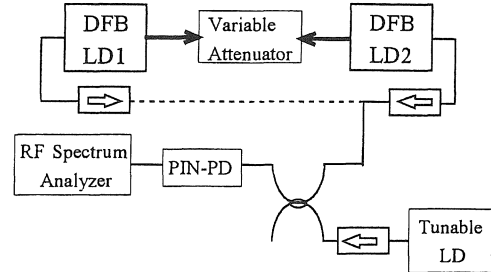


図14 相互注入同期の実験系

4.2 実験結果

自走時の各LDのスペクトル線幅は、LD₁が3MHz(出力パワー0.0dBm)、LD₂が7MHz(出力パワー-2.9dBm)であった。尚、スペクトル線幅は、測定スペクトル線幅にローレンツ曲線を当てはめて求めた。

LD₂のスペクトル線幅の変化を測定した例を図15に示す。この場合には、自走時の値7MHzから相互注入時の値1.4MHzへと、スペクトル線幅の狭窄化が起きていることが分かる。相互注入同期時には、二つのLDのスペクトル線幅は等しくなり、且つ、発振周波数が安定化することが観測された。

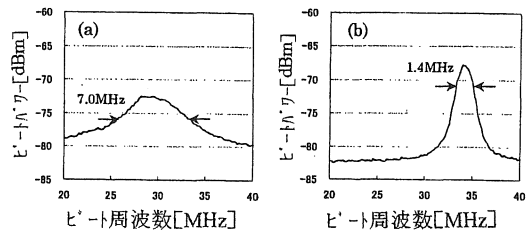


図15 LD₂のスペクトル線幅の変化
(a)自走時 (b)相互注入同期時

相互注入同期の状態、各LDの出力パワーを変化させてスペクトル線幅を測定した結果を図16に示す。実験に使用したLDは同一のチップ構造であり、かつ閾値電流がほぼ同じであるため、光子寿命もほぼ同じになる。そこで式(25)を用い、 $\Delta f_1 = 3\text{MHz}$ 、 $\Delta f_2 = 7\text{MHz}$ として計算した結果

を実線で示す。計算結果は実験値とよく一致していることが分かる。一般的には、自走時のスペクトル線幅は、ほぼ出力パワーの逆数に比例して変化する¹³⁾から、出力パワーの変化範囲が広がるに従って、式(25)の値からずれてくると予想される。

図16で注目すべき点は、適当な出力パワーの状態でも相互注入同期させることができれば、スペクトル線幅は各LDの自走時の値よりも小さくできること、および、出力パワー比を変化することによってスペクトル線幅を調節できることである。

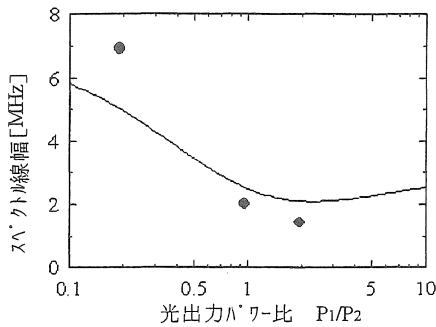


図16 相互注入同期時のスペクトル線幅

5. まとめ

分布帰還型半導体レーザーの相互注入同期について、位相同期ループモデルによる動作特性の解析を行った。これにより、LDのデバイスパラメータと同期特性との関係が明らかになると共に、いくつかの特性についての予測が可能となった。特に重要なスペクトル線幅については、実験を行い、位相同期ループモデルで得られた結果が妥当であることを確認した。

今後は、位相同期ループモデルによる解析と実験とを組み合わせながら、相互注入同期の諸特性を系統的に解明していく予定である。

参考文献

1) X.Gu and L.C.Blank,"10Gbit/s unrepeated three-level optical transmission over 100km of standard fibre",*Electron.Lett.*,**29**,pp.2209-2211(1993).

2) D.Cotter,"Suppression of stimulated Brillouin scattering during transmission of high-power narrowband laser light in monomode fibre",*Electron.Lett.*,**18**,pp.638-640(1982).

3) S.Kobayashi and T.Kimura,"Injection locking characteristics of an AlGaAs semiconductor laser",*IEEE J.Quantum Electron.*,**QE-16**,pp.915-917(1980).

4) K.Kikuchi and C.E.Zah,"Spectral, phase noise and phase modulation characteristics of AM sideband injection-locked semiconductor lasers",*Electron.Lett.*,**23**,pp.437-439(1987).

5) M.Yoshino and K.Inoue,"Chirp reduction in wavelength conversion using a laser diode by injection locking",*Electron.Lett.*,**30**,pp.1956-1957(1994).

6) L.W.Liou, M.Yu, T.Yoshino, and G.P.Agrawal,"Mutual injection locking of a fibre laser and a DFB semiconductor laser",*Electron.Lett.*,**31**,pp.41-42(1995).

7) R.Goto, T.Goto, H.Kasuya, M.Mori, and K.Yamane,"Mutual injection locking between two DFB LDs which lase at frequencies separated by one Fabry-Perot mode spacing",*Electron.Lett.*,**34**,pp.1669-1670(1998).

8) H.Kasuya, M.Mori, R.Goto, T.Goto, and K.Yamane,"All optical mode locking of Fabry-Perot laser diode via mutual injection locking between two longitudinal modes",*Appl.Phys.Lett.*,**75**,pp.13-15(1999).

9) F.M.Gardner, *Phase-lock Techniques* (Wiley, New York), Chap.2(1979).

10) O.Hirota and Y.Suematsu,"Noise properties of injection lasers due to reflected waves",*IEEE J.Quantum Electron.*,**QE-15**,pp.142-149(1979).

11) M.Sargent III, M.O.Scully, and W.E.Lamb,Jr., *Laser Physics*(Addison Wesley, Reading)3rded.,pp.310-315(1977).

12) J.A.Armstrong,"Theory of interferometric analysis of laser phase noise",*J.Opt.Soc.Am.*,**56**,pp.1024-1031(1966).

13) C.H.Henry,"Theory of the linewidth of semiconductor lasers",*IEEE J.Quantum Electron.*,**QE-18**,pp.259-264(1982).

(受理 平成12年3月18日)